

## فهرست مطالب

### چکیده فارسی

۱.....	فصل اول: مقدمه
۱.....	۱-۱- تاریخچه
۲.....	۲-۱- دستگاه PET حیوانی
۴.....	۴-۳- کاربردها
۷.....	۴-۴- تابش ذرهای
۷.....	۴-۱-۱- واپاشی آلفا
۷.....	۴-۲-۲- واپاشی بتا
۸.....	۴-۳-۳- واپاشی پوزیترون
۱۱.....	۵-۱- برخورد فوتون با ماده
۱۲.....	۵-۱-۱- اثر فتوالکتریک
۱۳.....	۵-۲- پراکندگی کامپتون
۱۵.....	۵-۳- تولید زوج
۱۷.....	فصل دوم: مبانی اساسی فیزیکی PET

۱۸.....	۱-۲- مقدمه
۲۱.....	۲-۲- انطباقات تصادفی
۲۲.....	۲-۳- انطباقات پراکنده
۲۳.....	۲-۴- تضعیف فوتون
۲۵.....	۲-۵- آشکارسازهای PET
۲۵.....	۲-۵-۱- آشکارسازهای سوسوزن جامد در PET
۲۹.....	۲-۶- لوله تقویت کننده نور
۳۲.....	۲-۷- ترتیب آشکارسازها
۳۵.....	۲-۸- اسکنرهای PET
۳۷.....	۲-۹- اکتساب داده
۴۱.....	۲-۱۰- اکتساب داده دو بعدی در مقابل سه بعدی
۴۴.....	۲-۱۱- فاکتورهای اجرایی PET
۴۴.....	۲-۱۱-۱- تفکیک مکانی ذاتی
۴۷.....	۲-۱۱-۲- تفکیک انرژی
۴۸.....	۲-۱۱-۳- حساسیت
۴۹.....	۲-۱۱-۴- درصد پراکندگی
۴۹.....	۲-۱۱-۵- زمان مرده سیستم
۵۱.....	<b>فصل سوم: تصحیحات در دستگاه PET</b>

۱-۳-۱- تصحیح انطباقات تصادفی	۵۲
۱-۱-۳- تخمین بوسیله آهنگهای تک شمارشات	۵۲
۲-۱-۳- تخمین بوسیله کانالهای منطبق تاخیری	۵۳
۳-۱-۳- روش حفاظتگذاری	۵۴
۱-۳-۱-۳- حفاظت دستگاه	۵۴
۲-۳-۱-۳- حفاظت بیمار یا حیوان	۵۶
۲-۳- تصحیح پراکندگی	۵۶
۱-۲-۳- روش اندازه‌گیری مستقیم	۵۷
۲-۲-۳- روش پنجره انرژی چندگانه	۵۸
۳-۲-۳- روش پنجره انرژی دوگانه	۵۹
۴-۲-۳- روشهای پنجره انرژی چندگانه	۶۲
۵-۲-۳- تصحیح پراکندگی بر اساس شبیه‌سازی	۶۳
۶-۲-۳- شبیه‌سازی مونت‌کارلو	۶۳
۷-۲-۳- کاربرد شبیه‌سازی براساس تصحیح پراکندگی	۶۴
۳-۳- تصحیح تضعیف	۶۵
۱-۳-۳- تعریف مسئله	۶۶
۲-۳-۳- تصحیح تضعیف اندازه‌گیری شده	۶۶
۳-۳-۳- تصحیح تضعیف با استفاده از داده منطبق عبوری	۶۷
۴-۳-۳- تصحیح تضعیف با استفاده از تک داد عبوری	۷۰
۵-۳-۳- تصحیح تضعیف محاسبه شده	۷۱

۷۳.....	<b>فصل چهارم: تحلیل نمودارهای شبیه‌سازی شده</b>
۷۴.....	۱-۴- کد شبیه‌سازی MCNP
۷۵.....	۴-۲- شبیه‌سازی و نتایج تصحیح تصادفی
۸۳.....	۴-۲-۱- حفاظ فانتوم مغز موش صحرایی
۸۳.....	۴-۲-۱-۱- طراحی حفاظ
۸۴.....	۴-۲-۱-۲- ضخامت حفاظ
۸۴.....	۴-۲-۱-۳- پهنهای محوری حفاظ
۸۵.....	۴-۲-۱-۴- فاصله بین اکتیویته و حفاظ
۸۵.....	۴-۲-۲- نتایج شبیه‌سازی
۸۵.....	۴-۲-۳- ضخامت حفاظ
۸۶.....	۴-۲-۲-۱- پهنهای محوری حفاظ
۸۷.....	۴-۲-۲-۲- فاصله بین اکتیویته و حفاظ
۸۸.....	۴-۲-۳- نتیجه‌گیری
۸۹.....	۴-۳- شبیه‌سازی و نتایج تصحیح پراکندگی
۸۹.....	۴-۳-۱- تصحیح با استفاده از روش انرژی دوگانه
۱۰۳.....	۴-۴- شبیه‌سازی و نتایج تصحیح تضعیف
۱۰۴.....	۴-۴-۱- اندازه‌گیری فاکتورهای تصحیح تضعیف
۱۰۵.....	۴-۴-۲- نتایج شبیه‌سازی

۱۰۸.....	فصل پنجم: نتیجه‌گیری
۱۰۹.....	۱-۵- نتایج تصحیح تصادفی
۱۰۹.....	۲-۵- نتایج تصحیح پراکندگی
۱۱۱.....	۳-۵- نتایج تصحیح تضعیف
۱۱۱.....	۴-۵- کاربردهای دستگاه PET

چکیده انگلیسی

## **فهرست جداول**

- ۱۱ جدول ۱-۱- خواص بعضی از هسته‌های گسیلنده‌ی پوزیترون در PET که از چشم‌های مختلفی جمع‌آوری می‌شوند.
- ۲۷ جدول ۱-۲- مشخصات فیزیکی آشکارسازهای سوسوزن متعارف در PET

## فهرست اشکال

### فصل ۱

- ۳ شکل ۱-۱- تصویر شماتیک یک سیستم PET حیوانی کوچک با دو جفت آشکارساز.
- ۴ شکل ۱-۲- یک سیستم میکروپت ساخت شرکت زیمنس.
- ۵ شکل ۱-۳- تصویری متابولیکی از مغز توسط مقطع نگاری با نشر پوزیترون.
- ۱۲ شکل ۱-۴- اثر فتووالکتریک تمام انرژی فوتون را می‌گیرد و سبب یونیزاسیون اتم می‌شود
- ۱۴ شکل ۱-۵- در پراکندگی کامپتون قسمتی از انرژی فرودی به الکترون اتمی منتقل می‌شود، این الکترون را الکترون پراکنده می‌نامند. فوتون در زاویه متناسب با مقدار انرژی کاهش یافته منحرف می‌شود.
- ۱۶ شکل ۱-۶- فرایند تولید زوج را نشان می‌دهد. که فوتون در مجاورت هسته در یک ساختار خودبخودی الکترون و پوزیترون را تولید می‌کند.

### فصل ۲

- ۲۰ شکل ۲-۱- انطباقات صحیح، پراکندگی، تصادفی، چندگانه.
- ۲۱ شکل ۲-۲- تصویر حاصل از PET بدون تصحیح.
- ۲۱ شکل ۲-۳- تصویر حاصل از PET با اعمال تصحیح.

- ۲۴ شکل ۴-۲- دو فوتون  $511 \text{ keV}$  بوسیله دو آشکارساز بعد طی ضخامت‌های متفاوت a و b در بافت آشکار می‌شوند. D بار است با مجموع a و b . تضعیف مستقل از مکان نابودی است، و به کل بعد جسم واپس‌گرد است.
- ۳۰ شکل ۵-۲- لوله فوتومولتی پلیر را نشان می‌دهد که در یک انتهای فوتوكاتود، چندین داینود در طرفین و در انتهای دیگر آنود هستند.
- ۳۲ شکل ۶-۲- نمونه یک PS-PMT از شرکت HAMAMATSU (R8900) و اتصال یک بلوک  $8 \times 8$  از سنتیلاتورها
- ۳۳ شکل ۷-۲- شماتیکی از بلوک آشکارساز تقسیم شده در عناصر  $8 \times 8$ ، و چهار لوله PM جفت شده با بلوک برای تشکیل پالس را نشان می‌دهد.
- ۳۴ شکل ۸-۲- بلوک آشکارساز نمونه ( $8 \times 8$ ) جفت شده با چهار لوله PM (تصویر پایین) و مدل بسته شده (تصویر بالا)
- ۳۵ شکل ۹-۲- بلوک آشکارساز با تقسیم رباعی لوله‌های PM را نشان می‌دهد. (سمت راست) لوله PM چهار ربع از چهار بلوک آشکارساز را شامل می‌شود.
- ۳۶ شکل ۱۰-۲- ترکیبات مختلف از اسکنرهای PET. (چپ بالا) اسکنر حلقه کامل. (راست بالا) اسکنر حلقه جزیی با شیفت زاویه‌ای  $15^\circ$  بین دو بلوک آشکارساز.
- (چپ پایین) آشکارسازهای پیوسته با استفاده از صفحات منحنی NaI(Tl) (راست پایین) آرایه هگزاگونال از چهار صفحه آشکارساز تقسیم رباعی.
- ۳۸ شکل ۱۱-۲- شماتیک بلوک آشکارساز در عناصر  $8 \times 8$ ، و چهار لوله جفت شده با بلوک برای ساختن پالس.

- ۳۹ شکل ۱۲-۲- شماتیک کلی الکترونیک هسته ای میکرو پت
- ۴۰ شکل ۱۳-۲- اکتساب داده PET در شکل سینوگرام.
- ۴۱ شکل ۱۴-۲- سینوگرام نمونه‌ای که آشکارسازها بصورت صحیح کار می‌کنند.
- ۴۲ شکل ۱۵-۲- اکتساب داده در مد دو بعدی که سپتا بین حلقه‌ها قرار داده می‌شود.
- ۴۶ شکل ۱۶-۲- پوزیترونها مسافتی را قبل از نابودی در جاذب طی می‌کنند. که این مسافت با انرژی فوتونها افزایش می‌یابد. از آنجایی که پوزیترونها با انرژیهای متفاوت در جهات زیکزاگی حرکت می‌کنند، برد موثر کمترین مسافت بین هسته‌ها و جهت فوتونهای  $511 \text{ keV}$  است. برد موثر تفکیک فضایی اسکنر PET را کاهش می‌یابد.

### فصل ۳

- ۵۵ شکل ۱-۳- حفاظت دستگاه برای انسان(بالا)، حفاظت دستگاه برای حیوان(پایین).
- ۵۶ شکل ۲-۳- حفاظت بیمار.
- ۵۹ شکل ۳-۳- طیف انرژی مشخص شده برای توزیع طیفی فوتونهای پراکنده شده ۵۱۱ کیلوالکترون ولت مطابق با تعداد مرتبه‌های که هر فوتون پراکنده می‌شود.
- ۶۰ شکل ۴-۳- طیف انرژی نشان دهنده پنجره قرار داده شده در چهار پنجره انرژی بر اساس روش: (a) روش پنجره انرژی دوگانه (DEW)، (b) تخمین از روش صحیح (ETM)، (c) پنجره انرژی سه‌گانه (TEW) و (d) روش جند طیفی.

## فصل ۴

- ۷۶ شکل ۱-۴ - فانتوم موش صحرایی.
- ۷۷ شکل ۲-۴ - بلوک آشکارسازی.
- ۷۷ شکل ۳-۴ - اول فانتوم داخل FOV ۳cm قرار دارد.
- ۷۸ شکل ۴-۴ - دوم فانتوم داخل FOV ۳cm قرار دارد.
- ۷۸ شکل ۵-۴ - سوم فانتوم داخل FOV ۳cm قرار دارد.
- ۷۹ شکل ۶-۴ - چهارم فانتوم داخل FOV ۳cm قرار دارد.
- ۷۹ شکل ۷-۴ - پنجم فانتوم داخل FOV ۳cm قرار دارد.
- ۸۰ شکل ۸-۴ - اول فانتوم داخل FOV ۳cm قرار دارد.
- ۸۱ شکل ۹-۴ - دوم فانتوم داخل FOV ۳cm قرار دارد.
- ۸۱ شکل ۱۰-۴ - سوم فانتوم داخل FOV ۳cm قرار دارد.
- ۸۲ شکل ۱۱-۴ - چهارم فانتوم داخل FOV ۳cm قرار دارد.
- ۸۲ شکل ۱۲-۴ - پنجم فانتوم داخل FOV ۳cm قرار دارد.
- ۸۵ شکل ۱۳-۴ - فانتوم موش صحرایی حفاظت شده.
- ۸۶ شکل ۱۴-۴ - درصد کاهش شار فوتون‌ها در مفایسه با حالت بدون حفاظت به صورت تابعی از مکان محوری چشمہ برای ضخامت‌های مختلف نشان داده شده است.
- ۸۷ شکل ۱۵-۴ - کاهش شار فوتون‌ها در مفایسه با حالت بدون حفاظت به صورت تابعی از مکان محوری چشمہ برای پهناهای محوری مختلف نشان داده شده است. نتایج بدست آمده برای دو ضخامت بیشتر نزدیکتر است.

- ۸۸ شکل ۴-۱۶- کاهش شار فوتون‌ها در مفایسه با حالت بدون حفاظ به صورت تابعی از مکان محوری چشمہ برای پهناهای محوری مختلف نشان داده است.
- ۹۰ شکل ۴-۱۷- تغییرات شمارش فوتونها بر حسب انرژی در چشمہ خطی برای تفکیک انرژی ۳۰٪.
- ۹۱ شکل ۴-۱۸- مقایسه تغییرات شمارش فوتونها بر حسب فاصله از مرکز دستگاه در دو روش ۱ و ۲ در چشمہ خطی با تفکیک انرژی ۳۰٪.
- ۹۱ شکل ۴-۱۹- تغییرات شمارش فوتونها بر حسب انرژی در چشمہ خطی برای تفکیک انرژی ۱۵٪.
- ۹۲ شکل ۴-۲۰- مقایسه تغییرات شمارش فوتونها بر حسب فاصله از مرکز دستگاه در دو روش ۱ و ۲ در چشمہ خطی برای تفکیک ۱۵٪.
- ۹۲ شکل ۴-۲۱- تغییرات شمارش فوتونها بر حسب انرژی در چشمہ خطی برای تفکیک انرژی ۵٪.
- ۹۳ شکل ۴-۲۲- مقایسه تغییرات شمارش فوتونها بر حسب فاصله از مرکز دستگاه در دو روش ۱ و ۲ در چشمہ خطی برای تفکیک ۵٪.
- ۹۴ شکل ۴-۲۳- تغییرات شمارش فوتونها بر حسب انرژی در چشمہ حجمی برای تفکیک انرژی ۳۰٪.
- ۹۵ شکل ۴-۲۴- مقایسه تغییرات شمارش فوتونها بر حسب فاصله از مرکز دستگاه در دو روش ۱ و ۲ در چشمہ حجمی برای تفکیک ۳۰٪.
- ۹۵ شکل ۴-۲۵- تغییرات شمارش فوتونها بر حسب انرژی در چشمہ حجمی برای تفکیک انرژی ۱۵٪.

- ۹۶ شکل ۴-۲۶- مقایسه تغییرات شمارش فوتونها بر حسب فاصله از مرکز دستگاه در دو روش ۱ و ۲ در چشمۀ حجمی برای تفکیک ۱۵٪.
- ۹۶ شکل ۴-۲۷- تغییرات شمارش فوتونها بر حسب انرژی در چشمۀ حجمی برای تفکیک انرژی ۵٪.
- ۹۷ شکل ۴-۲۸- مقایسه تغییرات شمارش فوتونها بر حسب فاصله از مرکز دستگاه در دو روش ۱ و ۲ در چشمۀ حجمی برای تفکیک ۵٪.
- ۱۰۰ شکل ۴-۲۹- نمودار شمارشات بر حسب فاصله از مرکز اسکنر برای پروجکشن‌های حاصل از دو حالت پنجره انرژی کل و پنجره انرژی بالا برای حالت  $r=0$ .
- ۱۰۰ شکل ۴-۳۰- نمودار شمارشات بر حسب فاصله از مرکز اسکنر برای توزیع پراکندگی حاصل از حالت پنجره انرژی بالا برای حالت  $r=0$ .
- ۱۰۱ شکل ۴-۳۱- نمودار شمارشات بر حسب فاصله از مرکز اسکنر برای تصحیح حاصل از حالت پنجره انرژی بالا برای حالت  $r=0$ .
- ۱۰۲ شکل ۴-۳۲- نمودار شمارشات بر حسب فاصله از مرکز اسکنر برای پروجکشن‌های حاصل از دو حالت پنجره انرژی کل و پنجره انرژی بالا برای حالت  $r=0/81\text{ cm}$ .
- ۱۰۲ شکل ۴-۳۳- نمودار شمارشات بر حسب فاصله از مرکز اسکنر برای پروجکشن‌های حاصل از حالت پنجره انرژی بالا برای حالت  $r=0/81\text{ cm}$ .
- ۱۰۳ شکل ۴-۳۴- نمودار شمارشات بر حسب فاصله از مرکز اسکنر برای پروجکشن‌های حاصل از حالت پنجره انرژی بالا برای حالت  $r=0/81\text{ cm}$ .
- ۱۰۶ شکل ۴-۳۵- شمارش بر حسب زاویه چرخش در اسکن خالی.
- ۱۰۷ شکل ۴-۳۶- شمارش بر حسب زاویه چرخش در اسکن عبوری.

شکل ۴-۳۷- فاکتور تصحیح تضعیف در زوایای چرخش.

## چکیده

روش تصویربرداری<sup>۱</sup> PET (تصویربرداری گسیل پوزیترون) یکی از روش‌های نوین تصویربرداری به صورت مقطعی (برش نگاری) است، که امروز به صورت گسترهای در سطح جهان استفاده می‌شود. مزیت این روش، تصویربرداری از عملکرد و فیزیولوژی، بافت‌های بدن است. در این روش دارو با یک رادیونوکلئید تابش کننده پوزیترون نشان‌دار شده و به بدن تزریق می‌گردد. بسته به خصوصیات ویژه دارو، این ماده در بخشی از بدن بیمار مجتمع می‌گردد. در آن ناحیه ذرات پوزیترون با ترکیب با الکترونها دچار پدیده فنا<sup>۲</sup> می‌شوند و دو فوتون گاما با زاویه<sup>۳</sup> ۱۸۰ درجه تابش می‌شود. بوسیله آرایه‌ای از آشکارسازها که در اطراف بیمار قرار گرفته‌اند این دو فوتون آشکارسازی شده و سپس به کمک کامپیوتر، از مجموعه این فوتون‌ها تصویر تشکیل می‌شود.

اما این فوتونها در فاصله مکان فنا تا زمانی که به آشکارسازها می‌رسند تحت تاثیر رویدادهایی قرار می‌گیرند که باعث می‌شود تصویر نهایی بدست آمده تصویر صحیح و واضحی نباشد. به منظور بدست آوردن تصاویر صحیح و بدون نویز در این روش تصویربرداری، باید تصحیحاتی اعمال شود. در این پروژه روش‌های تصحیحات تصادفی (با استفاده از روش حفاظت‌گذاری)، پراکندگی (با استفاده از روش پنجره انرژی دوگانه)، و تضعیف (با استفاده از روش اسکن عبوری<sup>۳</sup>) بررسی شده و با استفاده از کد شبیه‌سازی MCNP شبیه‌سازی‌های دستگاه و اعمال تصحیحات انجام می‌شود.

<sup>۱</sup>- Positron Emission Tomography

<sup>۲</sup> - Annihilation

<sup>۳</sup> - Transmission scan

در اینجا تمام شبیه‌سازی‌ها برای دستگاه PET حیوانی کوچک انجام می‌شود، که از دو جفت بلوک آشکارسازی روبروی هم تشکیل شده که هر بلوک شامل ۶۴ سلول آشکارسازی در کل شامل ۲۵۶ سلول آشکارسازی است. فانتوم مورد استفاده فانتوم موش صحرایی<sup>۴</sup> است که بصورت یک استوانه با طول ۱۵cm و قطر ۵cm است، که همچنین در بعضی از شبیه‌سازی‌ها از فانتوم مغز موش صحرایی هم استفاده شده است.

## فصل ۱

### مقدمه و تاریخچه

## ۱-۱ تاریخچه

برجستگی فناوری هسته‌ایی در کاربردهای پزشکی تقریباً از لحظه کشف پرتو ایکس بوسیله رونتگن در سال ۱۸۹۵ و کشف رادیواکتیویته بوسیله بکرل در سال ۱۸۹۶ شروع گردید. اهمیت پرتوهای ایکس در تشخیص پزشکی بلافضله آشکار شده و در مدت چند ماه پس از کشف آنها، عملکرد باکتری‌کشی پرتوهای ایکس و توانایی آنها برای نابودی تومورها آشکار گردید. بعلاوه، اثر عناصر رادیواکتیو کشف شده جدید رادیم و رادون در درمان تومورهای خاصی ابتدا کشف شده و در فعالیت‌های پزشکی مورد استفاده قرار گرفت. امروزه پزشکی تشخیصی و درمانی و نیز تحقیقات پزشکی به شدت به بسیاری از کاربردهای طریف و پیچیده تابش هسته‌ایی و رادیوایزوتوپها بستگی دارد. در پزشکی تشخیصی، توانایی رادیولوژیست برای تولید عکس‌های اعضاء و بافت‌های گوناگون بدن انسان مفید است. شروع به کاربرد پرتوهای ایکس در اوایل قرن بیستم جهت تولید سایه‌نگارهای استخوانها روی فیلم، فناوری عکسبرداری پزشکی پالایش پیوسته‌ای را بخود دیده است. استفاده بالینی از توموگرافی کامپیوترا (CT)، توموگرافی گسیل پوزیترون (PET<sup>1</sup>)، و توموگرافی گسیل تک فوتون تنها (SPECT) در سالهای ۱۹۶۰ و ۱۹۷۰ شروع شدند. در اوایل سالهای ۱۹۵۰ مشخص گردید که رادیونوکلئیدهای گسیل کننده پوزیترونها امکانات جامعی از عکسبرداری پزشکی را نسبت به SPECT ارائه می‌دادند. پوزیترونها گسیل شده در فاصله حداقل چند میلیمتر در بافت، با الکترون محیطی نابود شده و بطور همزمان دو فوتون نابودی با انرژی یکسان (۰/۵۱MeV) تولید و مهم‌تر از آن در دو جهت تقریباً عکس حرکت می‌کنند. اینگونه درک شده که آشکارسازی این فوتونها با بکاربردن رفتاری که بطور همزمان در دو جهت عکس گسیل می‌شوند، توضیح سه‌بعدی از توزیع رادیونوکلئیدها در بدن را خواهد داد. طی دهها سال توسعه آن PET وسیله‌ایی حیاتی

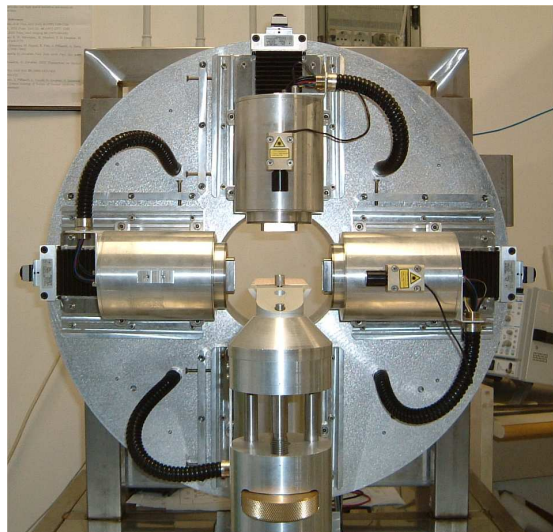
در تشخیص پزشکی و عکسبرداری شباهت بسیار زیادی به SPECT دارد با وجود این بکارگیری دو آشکارساز در دو طرف مخالف بیمار با آشکارسازی منطبق فوتون تفکیک شفافتر فضایی از محل گسیل در بیمار نسبت به SPECT داشته و لذا بازساخت بهتر توموگرافی عکس از توزیع اکتیویته در بیمار را می‌دهد.

عکسبرداری PET ابتدا در سالهای ۱۹۶۰ با عکسبرداری از یک سطح بر نتیجه و نیاز به جابجایی بیمار بین نتایج انجام پذیرفت. پت اسکن اول بار در دانشگاه واشنگتن در سنت لوییس در سال ۱۹۷۵ توسط مایکل فلپس اختراع گشت. در انتهای سالهای ۱۹۹۰، اسکنرهای PET با بیش از ۱۸۰۰۰ بلور سنتیلاسیون مستقل، قادر به عکسبرداری سه بعدی نواحی مصرف، ۶ اینچی محوری و ۲۳ اینچی مورب با تفکیک بهتر از ۵ میلیمتر در هر دو جهت قابل دسترسی بودند [۱۷].

## ۲- دستگاه PET حیوانی

در حال حاضر در تحقیقات بیوشیمی جهت شبیه‌سازی مراحل بیماریها استفاده گسترده‌ای از حیوانات کوچک نظیر موش و موشهای صحرایی می‌شود. به دلیل شباهت ژنتیکی بین انسان و موشهای می‌توان مطالعه مکانیسم بیماریها در انسان را توسط مطالعه بر روی موشهای امکان‌پذیر نمود. در راستای این تحقیقات روش‌های تشخیصی سازگار با بدن موشهای نیز کمک شایانی در تحقیقات بیومولکولی و مورفولوژی دارد. یکی از دستگاه‌های موثر در این تحقیقات PET می‌باشد. به دلیل اینکه موش دارای ساختار بدنی بسیار کوچکی می‌باشد استفاده از دستگاه‌های PET انسانی نمی‌تواند تصاویر با وضوح خوبی از موشهای تهییه کند به همین دلیل طراحی PET مخصوص حیوانات کوچک نظیر موشهای کمک بسیار موثری در تحقیقات پزشکی می‌کند.

از PET حیوانی علاوه بر استفاده در تحقیقات پزشکی، می‌توان برای تشخیص سرطانهای سینه نیز استفاده نمود. همچنین طراحی و ساخت PET حیوانی می‌تواند قدمی موثر در طراحی و ساخت انسانی باشد. یک تصویر شماتیک از سیستم PET که دو جفت آشکارساز دارد در شکل‌های (۱) و (۲) نشان داده شده است [۱۷, ۲۰].



شکل ۱-۱- تصویر شماتیک یک سیستم PET حیوانی کوچک با دو جفت آشکارساز



شکل ۱-۲- یک سیستم میکروپت ساخت شرکت زیمنس

### ۱-۳ کاربردها

امروزه دستگاه‌های PET در بیمارستانها در سرتاسر ایالات متحده و نیز در آشکارسازی و تحقیقات در زمینه‌هایی همچون ناراحتی‌های مغز و اعصاب مثل روان‌گسیختگی، پارکینسون، آلزایمر، و آنکولوژی کاربرد وسیع دارند(شکل ۳). PET برای تولید عکس‌هایی که فیزیولوژیکی را آشکار می‌کنند، ایده‌آل است. همانگونه که ملاحظه نموده‌ایم، رادیونوکلیدهای با Z- پائین از گسیلنده‌های پوزیترون غنی هستند که به راحتی در مولکولهای همچون آب، گلوکز، آمونیاک و غیره جایگزین می‌شوند و از طریق متابولیسم گردش خون داخل بدن انسان حرکت می‌کنند. دو مسیر گسترده از کاربردها وجود دارد. در یک روش تغییرات در تحرکات مغز و فعالیت شناختی مرتبط با بیماری آلزایمر، بیماری پارکینسون، صرع، و بیماری تصلب شریان مورد مطالعه قرار می‌گیرد. در روش دیگر شناسائی محل توموردها و متاستازهای در